

V-19 コンクリートの圧縮変形に対する時間効果に関する基礎的実験

九州大学 工学部 正員 德光善治

学生員 松下 康通

○山本 正治

1. まえがき

コンクリート構造物が動的応力を受けるとき、

その応答は応力速度あるいはひずみ速度によつて

異なってくるものであり、これらを表す明るかにする

には最も単純化した静的圧縮強度試験において

応力速度あるいはひずみ速度がコンクリートの強

度や変形に及ぼす影響の時間効果を調べることが必要である。

あらびにこの方面の研究発表も多い。筆者らも応力速度が

2~400 kg/cm²/sec の場合について、普通コンクリートおよ

び軽量コンクリートの圧縮試験を行つた。試験はまだ途中

であるが一部をここに報告する。

2. 実験方法

使用したコンクリートは普通コンクリート2種、軽量コ

ンクリート1種の計3種であり、それぞれA, B, Cとよ

ぶ。コンクリートの配合は表-1の通りである。供試体は

φ10×20 cm 円柱供試体でそれぞれ12本づつ作製した。試験

は荷令14日で行つたが、そのときのJIS A 1108による強度

試験結果は表-1に示した。応力速度は2~400 kg/cm²/sec

で4段階としたが、各配合によつてはコンクリートの強度

が異なり、常に一定の応力速度を得ることはできなかつた。

各応力速度ごとに3本づつ試験したが、変形量測定にはワ

イヤストレーンゲージを使用し、ひずみ量を電磁オフシロ

グラフに記録させた。

3. 実験結果および考察

図-1に配合Bの試験結果より求めた応力-ひずみ曲線

を示した。この曲線はそれぞれ3個の供試体の平均値を示したものである。これより、本実験の範囲の応力速度の変化では、破壊長(最大応力を示す長さ)での圧縮ひずみ量 ε_c

には大差はないようである。配合A, Cについても同様であつた。すなわち

$$\varepsilon_c = \text{const} \quad (2000 - 2400 \times 10^{-6})$$

$$(\text{但し } \dot{\sigma} = 2 - 400 \text{ kg/cm}^2/\text{sec})$$

表-1 コンクリートの性質

| 配合 | 水セメント比 | 細骨材率 (%) | 単位 | | | JIS A1108規格 強度 C(%) | | | |
|--------|--------|----------|--------|-----------|---------|------------------------------|-----|------------------------|------------------------|
| | | | 水 (kg) | セメント (kg) | 骨材 (kg) | | | | |
| 普通 | 2.00 | 89 | 45 | 196 | 220 | 845 | 478 | 714 | 125 kg/cm ² |
| コンクリート | 2.00 | 41 | 45 | 189 | 460 | 765 | 431 | 649 | 384 kg/cm ² |
| 軽量 | 2.00 | 65 | 43 | 189 | 290 | 791 | 601 | 183 kg/cm ² | |

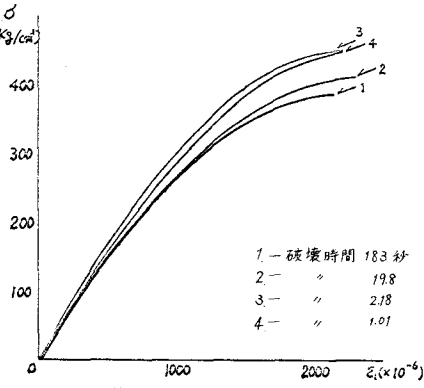


図-1

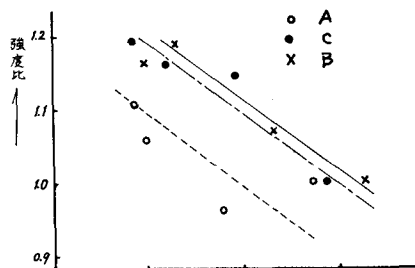


図-2

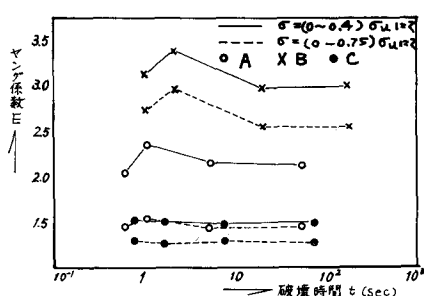


図-3

コンクリートの強度は応力速度によつて差が認められた。図-2に破壊時間と強度比(JIS A 1108による結果に対する)を任意応力速度における圧縮強度の比の関係を示した。これより、試験結果にかほりのばらつきはみられないが、破壊時間の対数は1次的に強度が増減するようである。この割合はコンクリートの配合による差は認められなかった。図-3に破壊強度の75%, 40%の実におけるセメント係数が破壊時間によつてどのように変化するかを示した。普通コンクリートでは圧縮強度と同様に荷重速度によつて弹性係数が変化していくが、軽量コンクリートでは本実験の範囲内での応力速度の変化は弾性係数に変化と見えないという結果であった。次に、コンクリートをどの程度完全弾性体とみなすかと調べるために、破壊時間と破壊時の最大応力および圧縮ひずみ量から応力速度とひずみ速度を求めて図-4にその関係を示した。 $\dot{\sigma} = a(\dot{\varepsilon})^b$ において $b=1$, $a=\text{const}$ であれば完全弾性体が成立する式であるが、本実験ではほぼ $a=\text{const}$ $b=1$ が成立するようである。次に、圧縮変形においては、

骨材とモルタル間のボンドひびわれの影響やモルタル中を走るモルタルクラックの影響などによりいくつかの特異点が存在する。これらが荷重速度によつて変化するかと調べるために図-5にB部の応力速度 $215\text{kg/cm}^2/\text{sec}$ の場合の例を示した。これは破壊応力を100%としたときの応力比 σ_r に対して体積ひずみの変化率をA点、ボアソン比が大きく変化する点をB点、 $\frac{\sigma_1}{\sigma_r} - \varepsilon$ 曲線で折れ曲る部分をC点とD点としてそれらの特異点とした。C点とD点は最大特異点の位置が明らかではないことにより、A点、B点のみについて調べた。A点、B点は、応力速度が大きになると σ_r がいくぶん小さくなる所で移行していくようであるが、ばらつきの範囲内であるようだ。またこの傾向は小さいものであり、破壊時間 t 1秒程度と100秒程度の σ_r は3~4%の差しかござなつた。図-6に破壊時間とA点の体積ひずみ量の関係を、図-7に破壊時間とB点のボアソン比の値との関係を示した。コンクリートの種類や強度差による影響はみられないが、破壊時間との間にはまだ確実なものはない。

